

Fenòmens Col·lectius i Transicions de Fase

Pràctica 4

promitjos en funcio de T
Dependència amb L
Extrapolació a $L \rightarrow \infty$

Objectius

Explotar el codi `MC2.f` per obtenir el comportament del paràmetre d'ordre, l'energia, la capacitat calorífica i la susceptibilitat en funció de la temperatura pel model d'Ising 2D amb una certa mida L

Estudiar la dependència amb L , i com podem extrapolar els resultats al sistema infinit

L'exemple que mostrem a continuació correspon a

$L=32$, $MCS=40000$, $MCINI=2000$, $MCD=20$, $NLLAV=200$

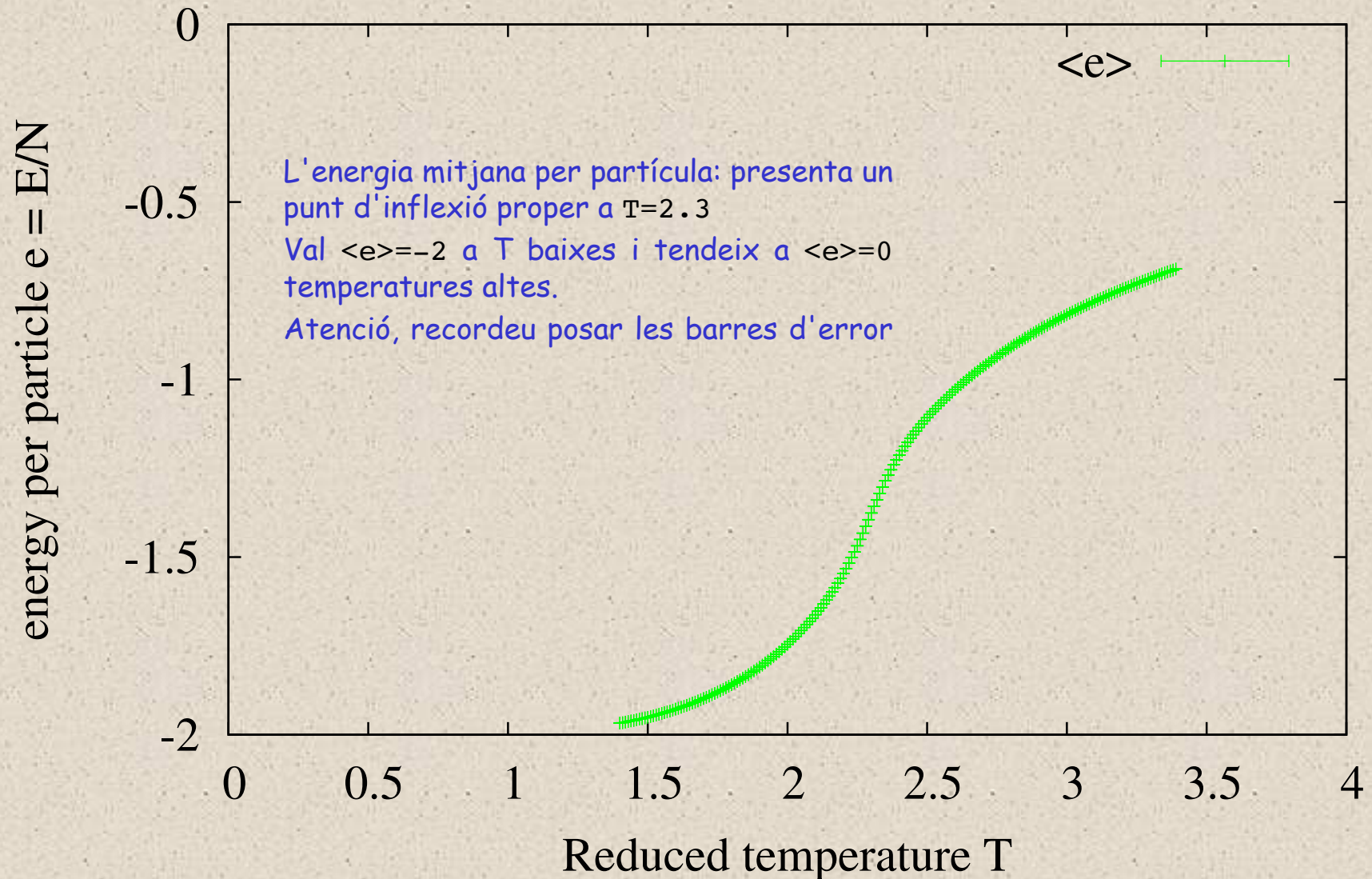
$T=1.40, 1.41, 1.42, \dots 3.40$

Equival a promitjar sobre 380000 configuracions per cada una de les 200 temperatures.

Ha trigat uns 66500 s de CPU en un 2,8GHz Intel Core i7

L=32 Resultats $\langle e \rangle$

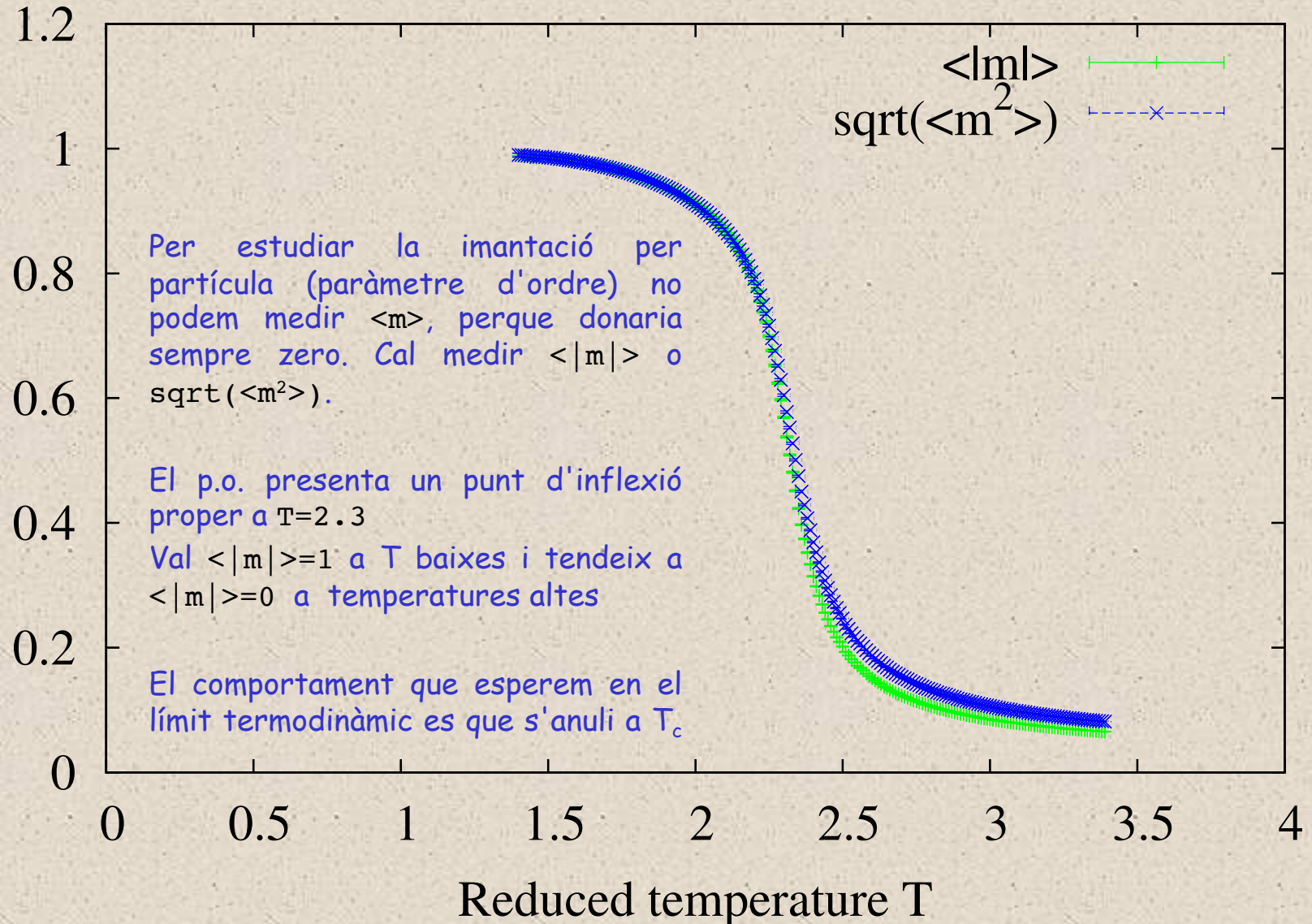
Monte Carlo Ising 2D L=32



L=32 Resultats $\langle m \rangle$

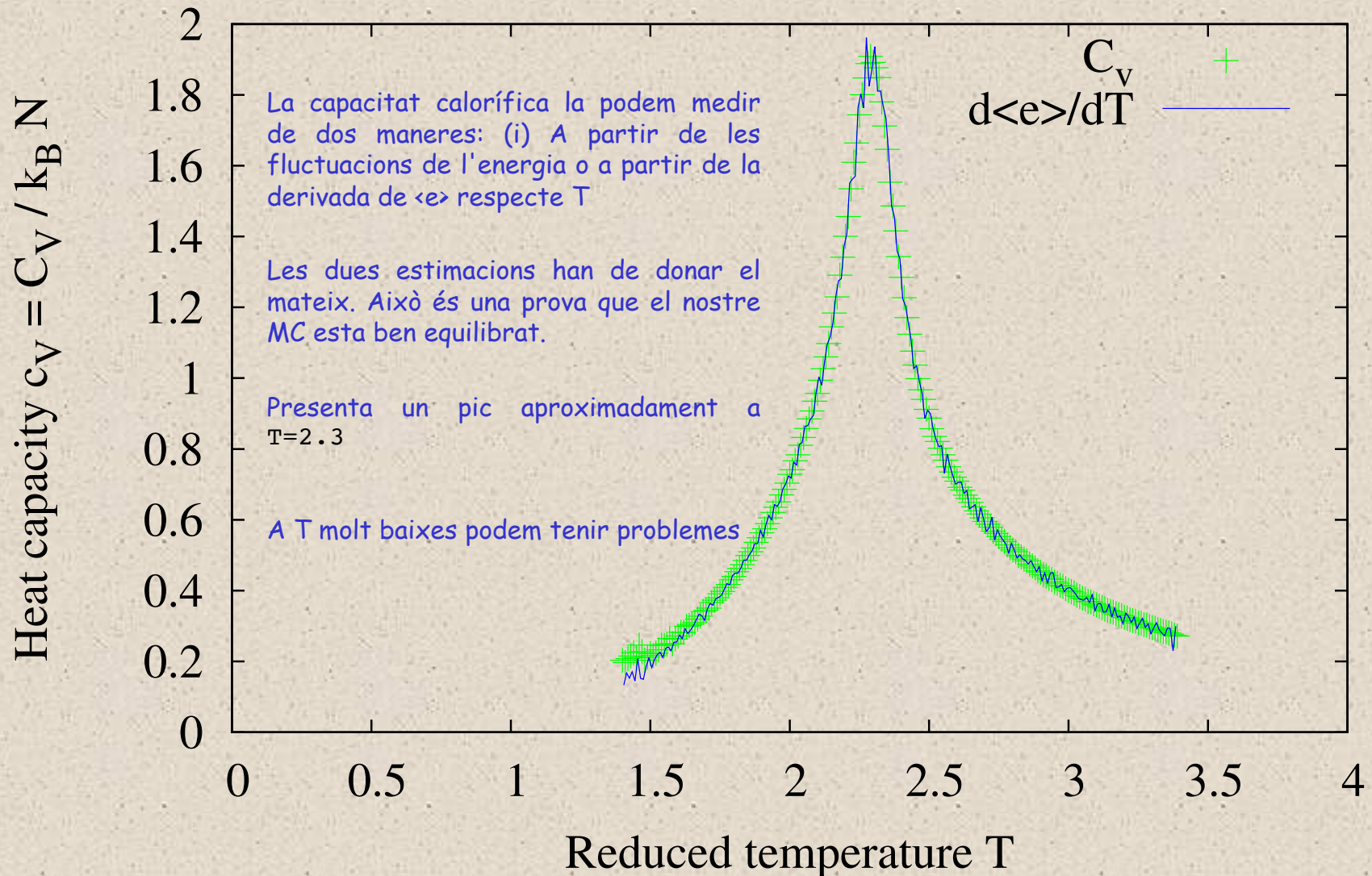
Monte Carlo Ising 2D L=32

magnetization per particle $m = M/N$



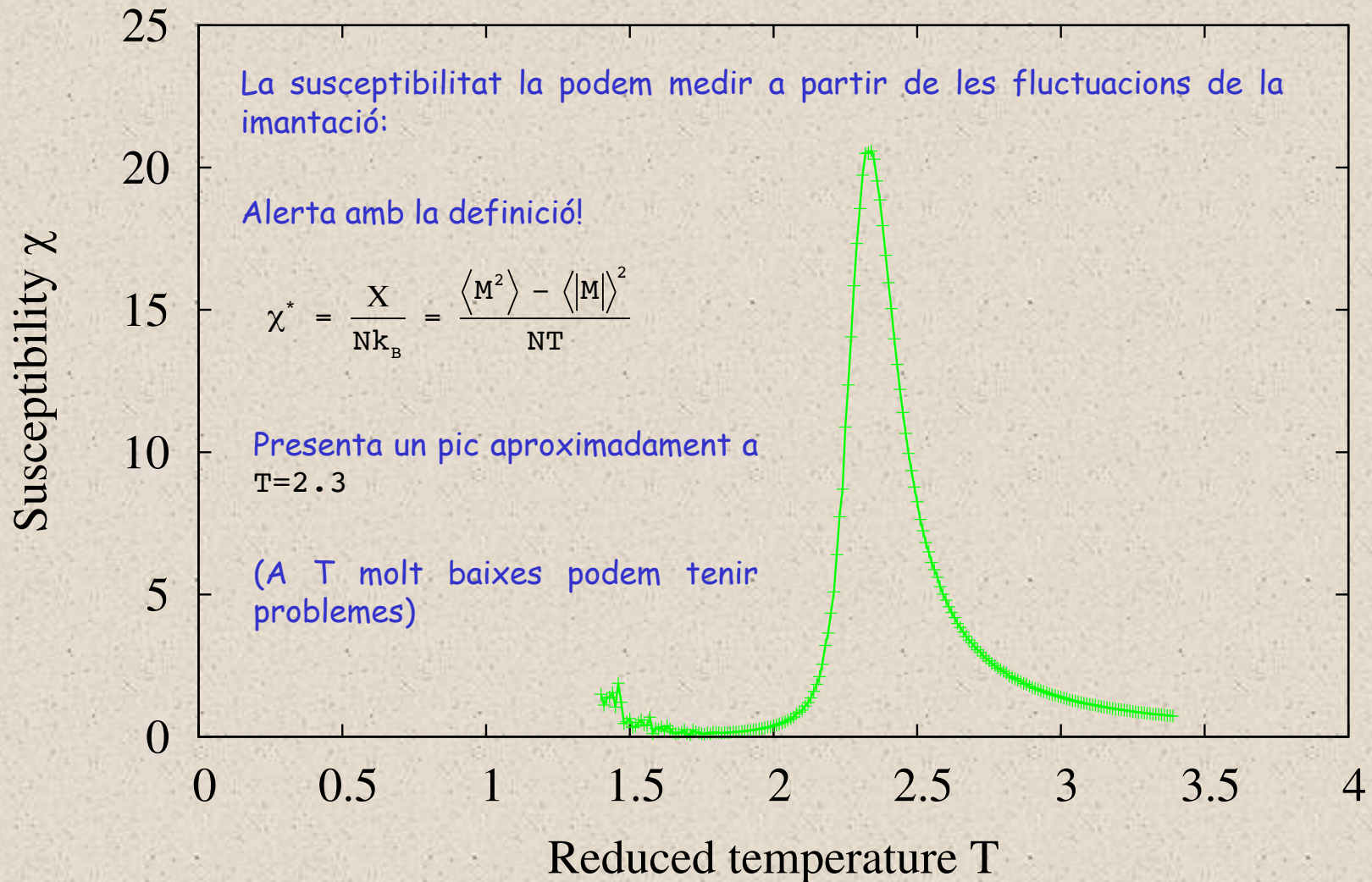
L=32 Resultats C_V

Monte Carlo Ising 2D L=32



L=32 Resultats χ

Monte Carlo Ising 2D L=32



Dependència amb L

El segon objectiu és estudiar la dependència amb L i intentar extrapolar els resultats al límit termodinàmic. Per fer-ho s'han de fer càlculs per diferents L 's:

$$L=8, 16, 32 \text{ i } 64$$

Donat que les simulacions per L 's grans son molt costoses, convé escollir bé les temperatures que estudiem. Ens centrarem en el punt crític, prop del punt d'inflexió i prop dels màxims de C_v i χ .

Per intentar entendre la dependència amb L convé recordar alguns conceptes de fenòmens crítics.

Fenòmens Crítics

- **Exponents crítics:** Caracteritzen el comportament no analític de les variables termodinàmiques en el punt crític

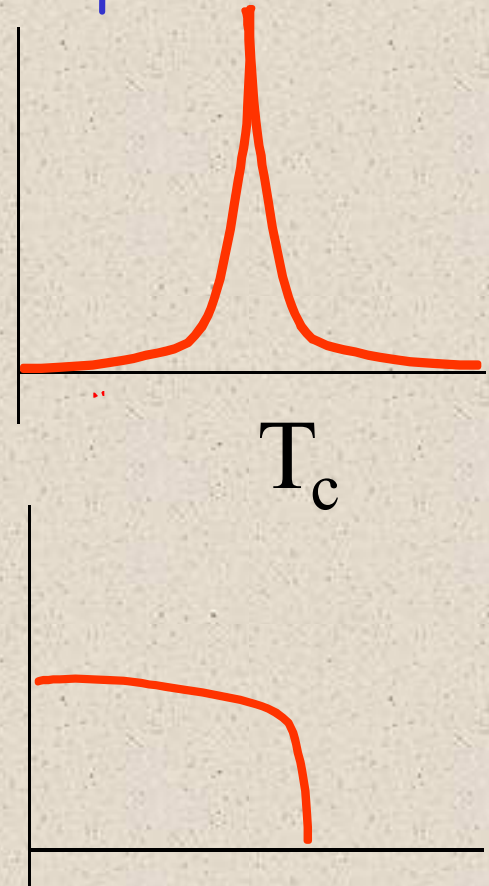
$$\xi = A|T - T_c|^{-\nu} (1 + B(T - T_c) + \dots) \quad C_v, \chi, \xi$$

$$C_v = A|T - T_c|^{-\alpha} (1 + B(T - T_c) + \dots)$$

$$\chi = A|T - T_c|^{-\gamma} (1 + B(T - T_c) + \dots)$$

$$m = \begin{cases} A(T_c - T)^\beta (1 + B(T - T_c) + \dots) & T < T_c \\ 0 & T > T_c \end{cases} \quad m$$

$$m = A|H - H_c|^{\frac{1}{\delta}} (1 + B(H - H_c) + \dots) \quad T = T_c$$



- Els exponents tenen valors universals

Exponents Critics Ising

$$\xi = A |T - T_c|^{-\nu}$$

$$C_v = A |T - T_c|^{-\alpha}$$

$$\chi = A |T - T_c|^{-\gamma}$$

$$m = A (T_c - T)^\beta \quad T < T_c$$

$$m = A |H - H_c|^{\frac{1}{\delta}} \quad T = T_c$$

$$T_c = \frac{2}{\ln(1 + \sqrt{2})} = 2.2691853\dots$$

exponent	2D	3D
ν	1	0.629971
α	0	0.11008
γ	7/4	1
β	1/8	0.326419
δ	15	4.78984

Efectes pseudocrítics en sistemes finits

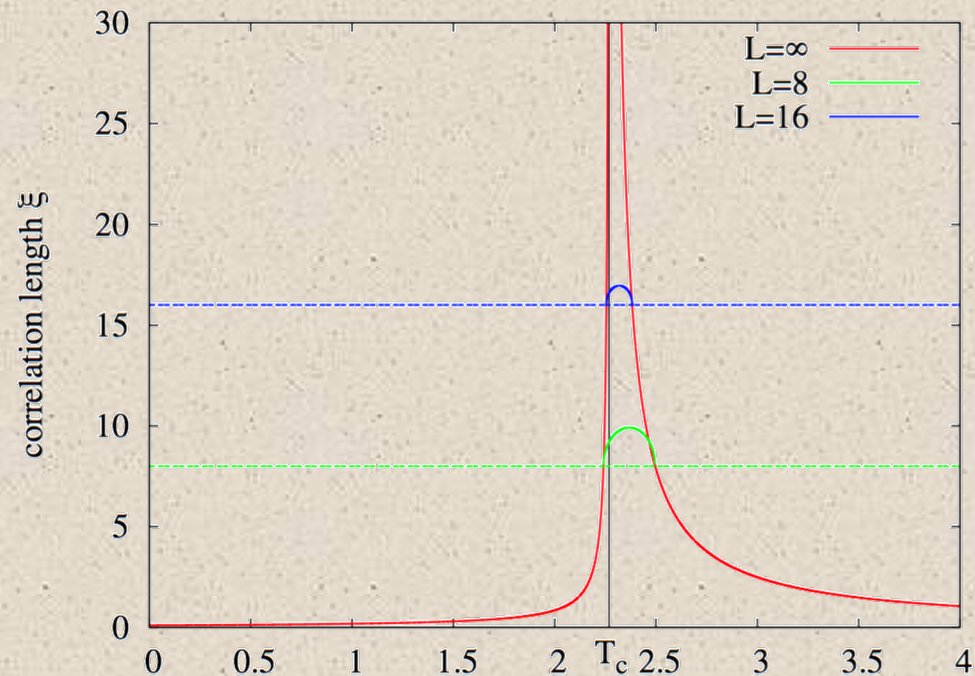
- En sistemes finits no existeix comportament crític
- Les simulacions reproduïen bé el comportament fins que $\xi_L = L$ (o kL)

Observarem efectes pseudocrítics a una temperatura T_{cL} , que correspondrà a:

$$\xi = A |T - T_c|^{-\nu} = kL$$

Per tant:

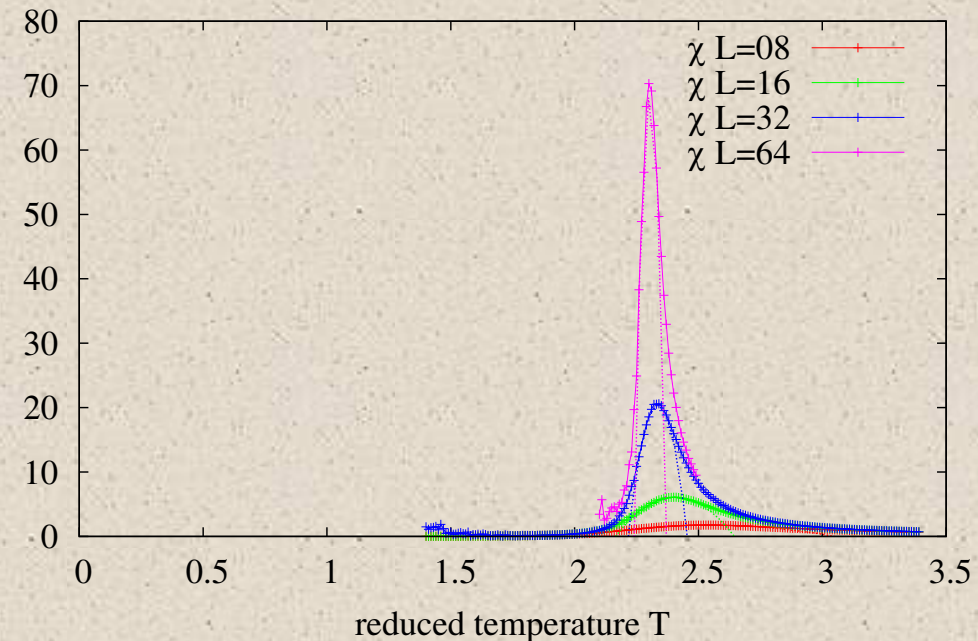
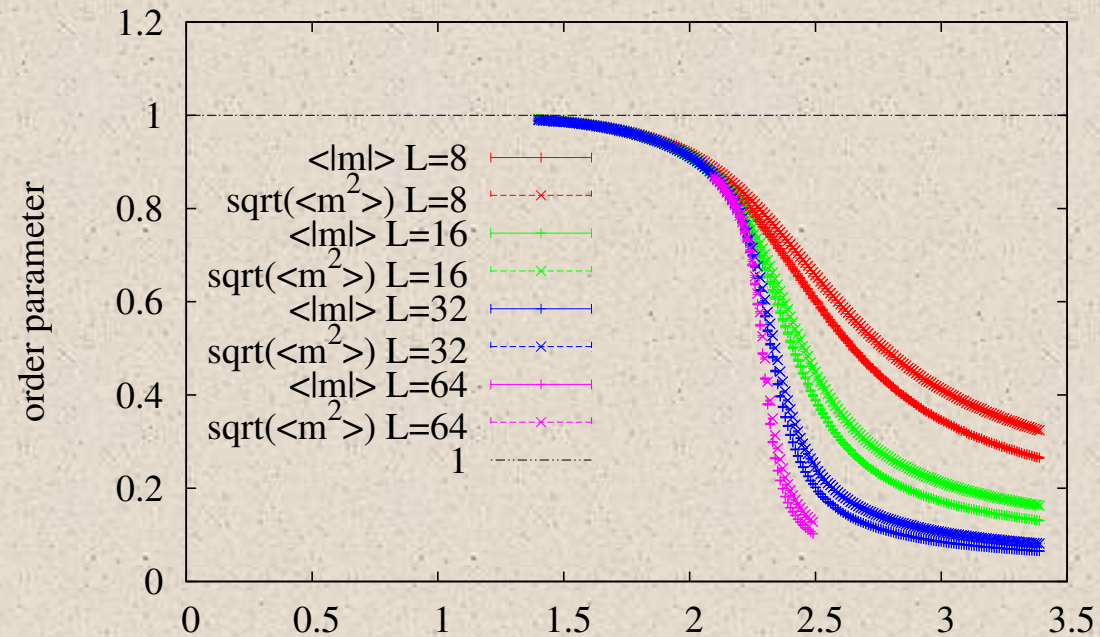
$$|T_{cL} - T_c|^{-\nu} = CL \quad T_{cL} = T_c + DL^{-\frac{1}{\nu}}$$



Resultats per diferents L 's

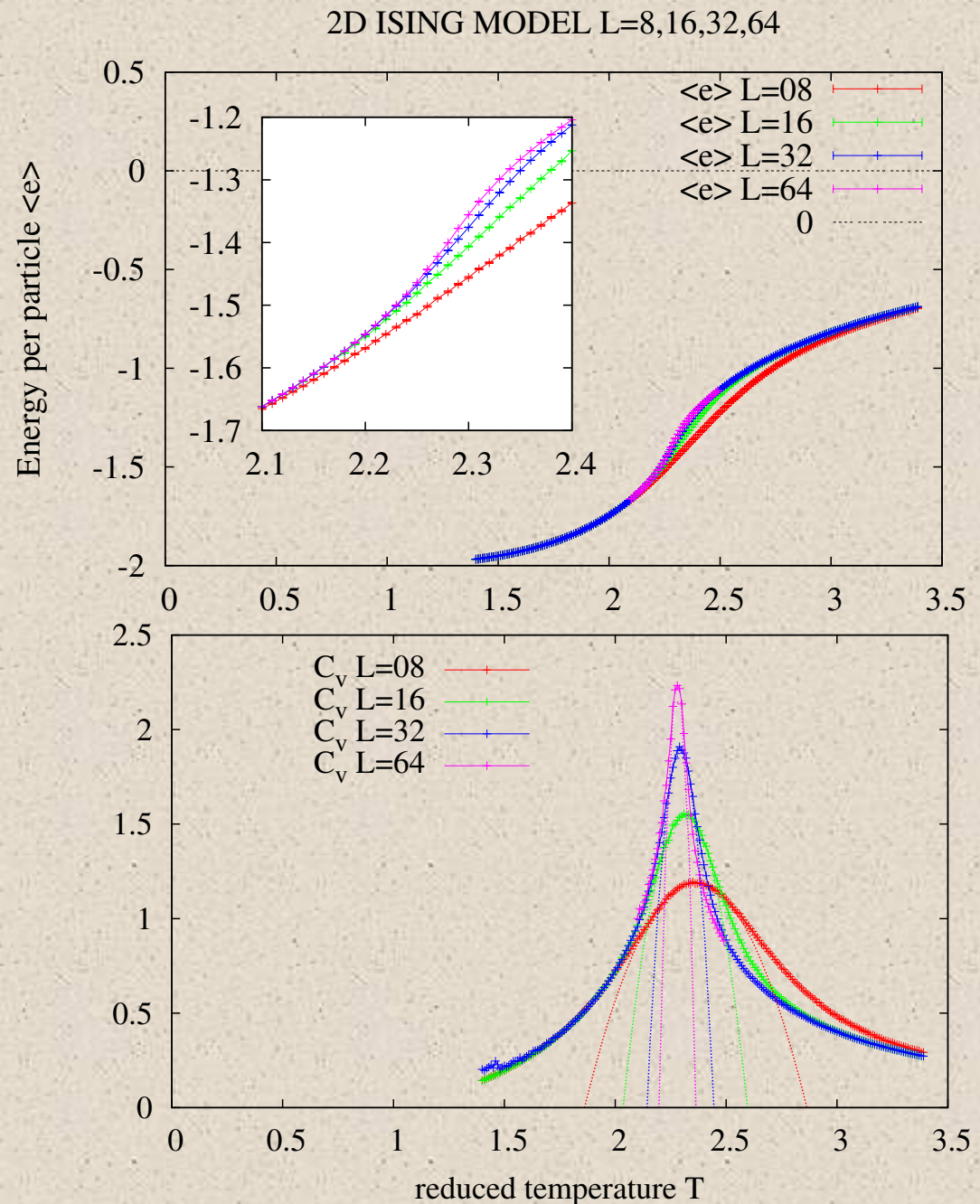
- Comportament de l'imantació i la susceptibilitat
- El punt d'inflexió i el màxim es desplacen en augmentar L
- Estimarem la posició dels màxims i/o dels punts d'inflexió ajustant polinomis o a "ull"
- Així obtindrem famílies de $T_c(L)$, estimades a partir de diferents propietats

2D ISING MODEL $L=8,16,32,64$



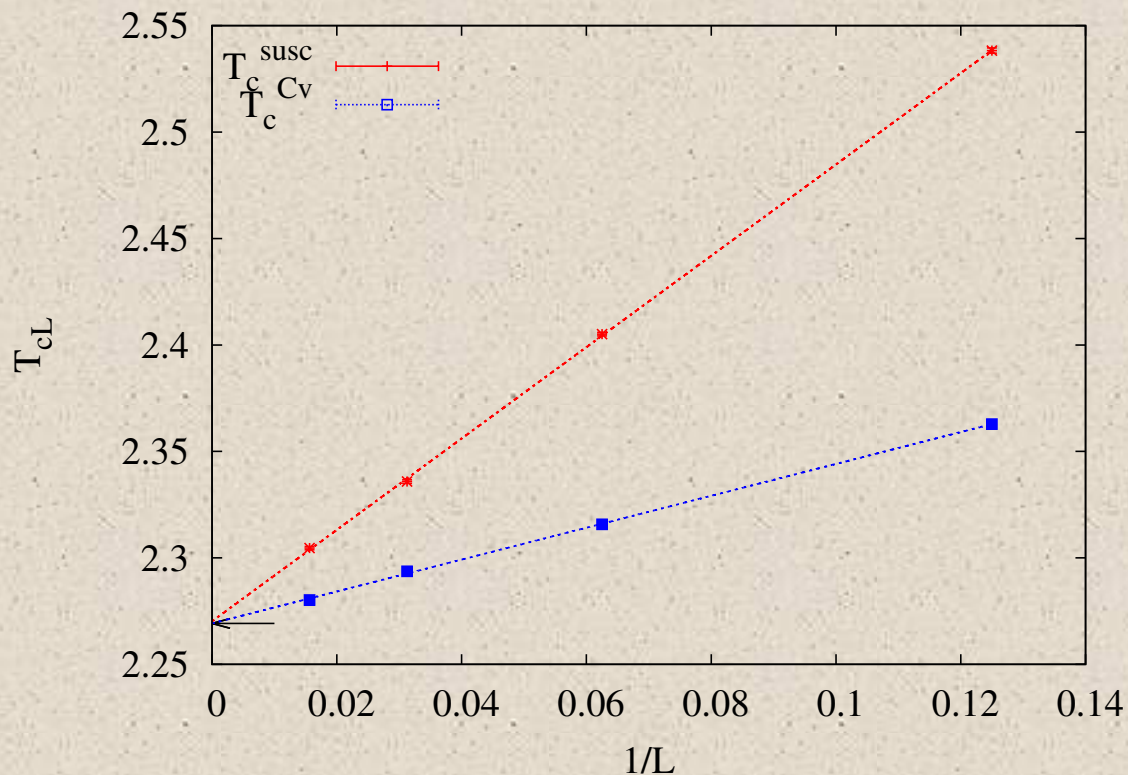
Resultats per diferents L 's

- Comportament de l'energia i la capacitat calorífica
- El punt d'inflexió i el màxim es desplacen en augmentar L
- Estimarem la posició dels màxims i/o dels punts d'inflexió ajustant polinomis o a "ull"
- Així obtindrem famílies de $T_c(L)$, estimades a partir de diferents propietats



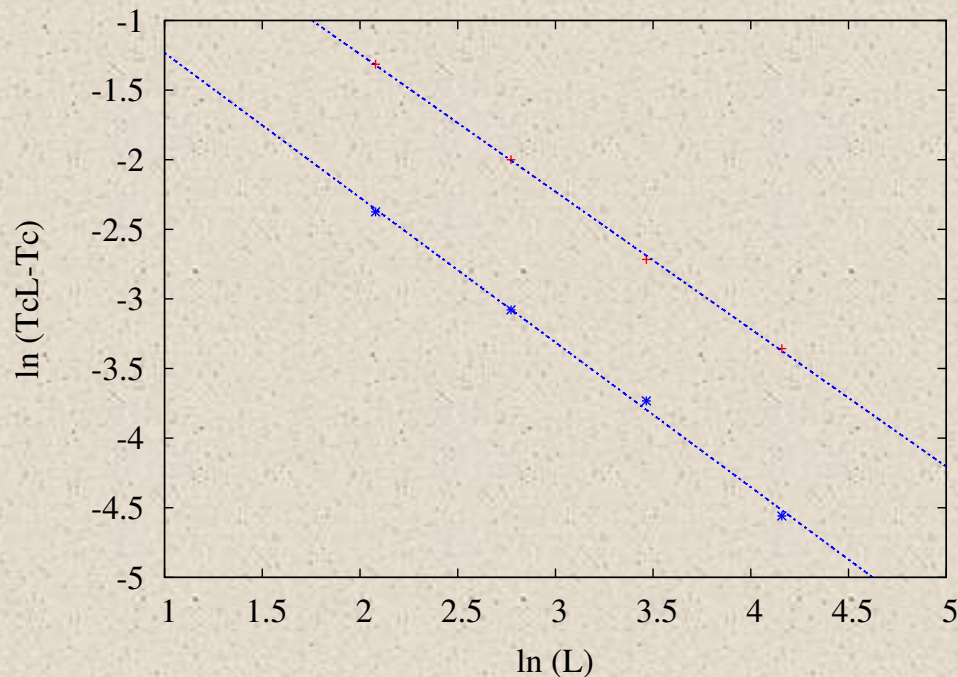
Comportament de T_{cL}

- En funció de $1/L$ per extrapolar (en aquest cas el comportament es lineal, de casualitat perquè $\nu=1$)
- Les extrapolacions donen molt bé. (2.27025, 2.26924)



Comportament de T_{cL}

- Un cop tenim T_c , podem dibuixar $\log (T_{cL}-T_c)$ contra $\log L$ per trobar l'exponent $-1/\nu$
- Ho podem agafant una T_c estimada promig de les anteriors $T_c \approx 2.269745$
- També ho podeu fer amb la $T_c = 2.2691853142$ correcta (que en aquest cas coneixem)
- Els pendents resulten: $-1/\nu = -0.99 \pm 0.014$ i $-1/\nu = -1.04 \pm 0.04$



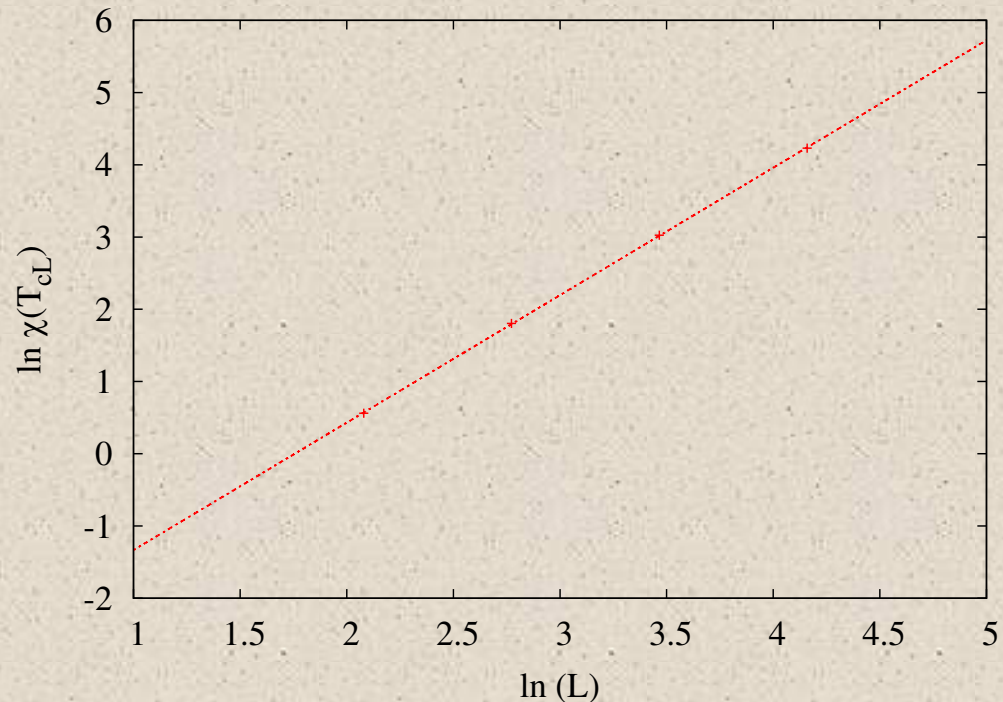
Com estimar γ

- Un cop tenim T_{cL} i ν podem estimar els altres exponents crítics. Per exemple a partir del comportament de l'alçada dels pics de la susceptibilitat que hem obtingut ajustant les paràboles

$$\chi = A |T - T_c|^{-\gamma} \quad \chi(T_{cL}) = A |T_{cL} - T_c|^{-\gamma} = A \left(CL^{-\frac{1}{\nu}} \right)^{-\gamma} = BL^{\frac{\gamma}{\nu}}$$

S'obté: $\gamma/\nu=1.76446$

El valor exacte és:
 $\gamma/\nu=7/4=1.75$



Finite Size Scaling (0)

Existeix una tècnica més adequada per corregir els efectes de mida finita. Per comptes d'estudiar el comportament del pic de X i C_v , s'estudia el comportament de totes les funcions X, C_v o $\langle |M| \rangle$

Es pot fonamentar de dues maneres

- 1) Arguments de analiticitat de les funcions termodinàmiques pels sistemes finits
- 2) Estudi de les quantitats invariants sota l'acció del GR

Finite Size Scaling (1)

J.K Kim, PRL 70, 1735 (1993)

Hipòtesi: Una propietat termodinàmica P que divergeixi en el punt crític com $P_{\infty}(t) \sim t^{-\rho}$, pels sistemes finits serà analítica i es comporta com:

$$\frac{P_L(t)}{P_{\infty}(t)} = f_P\left(\frac{L}{\xi_{\infty}(t)}\right)$$

on $t = \frac{T - T_c}{T_c}$

$$P_L(t) = At^{-\rho} [1 + Bt + Ct^2 + \dots] f_P\left(\frac{L}{Dt^{-\nu} [1 + Et + Ft^2 + \dots]}\right)$$

Donat que $P_L(t)$ és analítica, es pot desenvolupar com

$$P_L(t) = P_L(0) + \left. \frac{dP_L(t)}{dt} \right|_0 t + \frac{1}{2} \left. \frac{d^2 P_L(t)}{dt^2} \right|_0 t^2 + \dots$$

Finite Size Scaling (2)

La analiticitat de P_L força la forma de f_p

$$P_L(0) = \lim_{t \rightarrow 0} A t^{-\rho} f_p \left(\frac{L}{D} t^v \right) = p_0 L^{\rho/v}$$

ja que f_p forçosament ha d'anar com

$$f_p(x) \approx x^{\rho/v}$$

Per tal de compensar la divergència amb $t^{-\rho}$. De manera similar es pot investigar $P_L'(0)$. El terme que inclogui f_p' serà

$$\begin{aligned} & \dots + A t^{-\rho} [1 + B t + C t^2 + \dots] f_p' \left(\frac{L}{D t^{-v} [1 + E t + F t^2 + \dots]} \right) (L t^{v-1} + \dots) = \\ & = \dots + L t^{-\rho+v-1} (L t^v)^{\frac{\rho-v+1}{v}} + \dots = \dots + L^{\rho/v} (L^{1/v}) + \dots \end{aligned}$$

S'arriba, per tant a:

$$P_L(t) = L^{\rho/v} [p_0 + p_1 L^{1/v} t + p_2 L^{2/v} t^2 + \dots] = L^{\rho/v} \psi_p(L^{1/v} t)$$

Finite Size Scaling (3)

- Les magnituds amb comportaments no analítics en el punt crític es comportaran com:

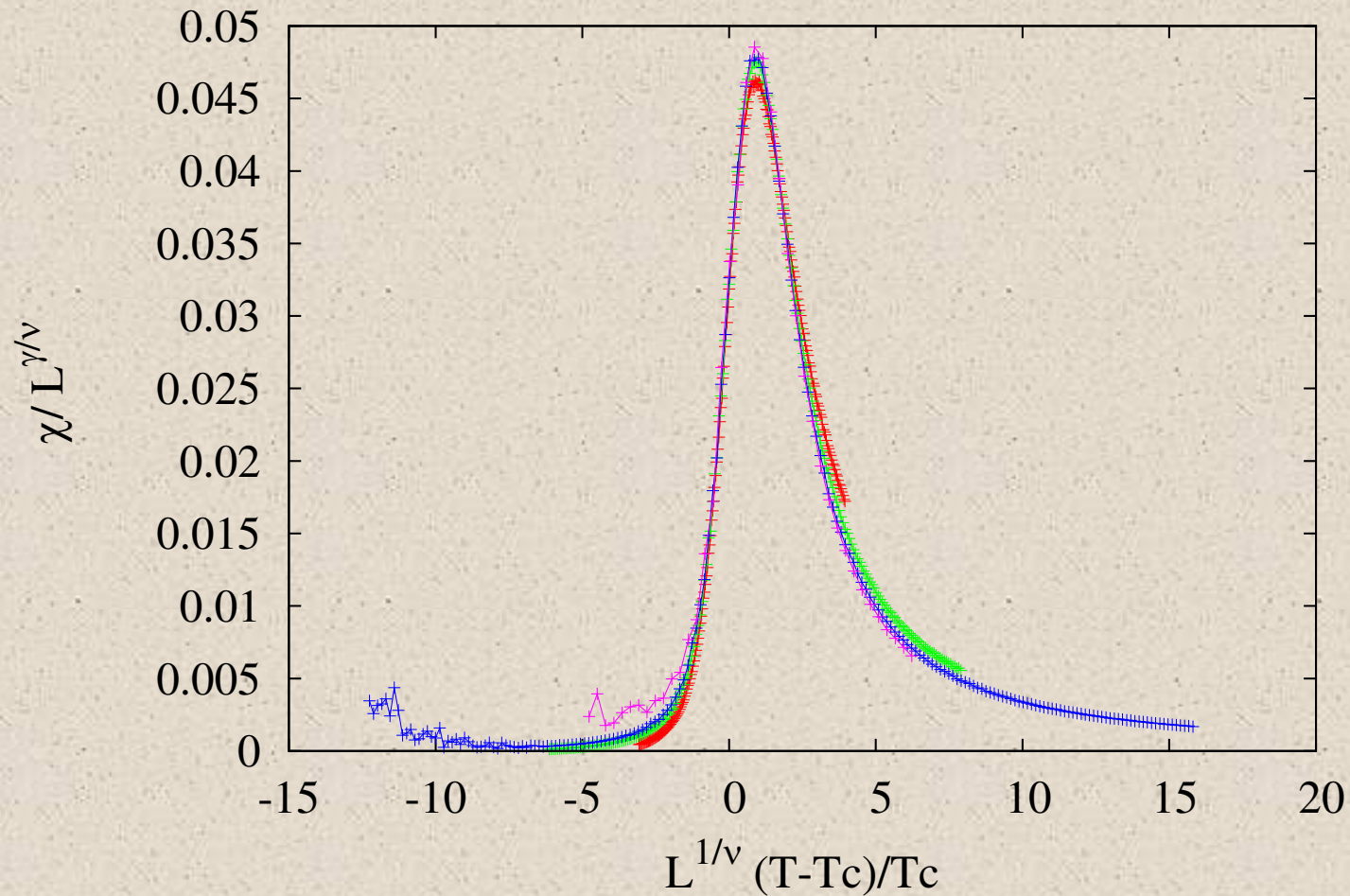
$$\xi \propto |T - T_c|^{-\nu} \quad \longrightarrow \quad \xi_L \propto L \psi \left[\frac{T - T_c}{T_c} L^{1/\nu} \right]$$

$$\chi \propto |T - T_c|^{-\gamma} \propto \xi^{\gamma/\nu} \quad \longrightarrow \quad \chi_L \propto L^{\gamma/\nu} \Psi \left[\frac{T - T_c}{T_c} L^{1/\nu} \right]$$

$$\langle |m| \rangle \propto |T_c - T|^\beta \propto \xi^{-\beta/\nu} \quad \longrightarrow \quad \langle |m_L| \rangle \propto L^{-\beta/\nu} \Psi \left[\frac{T - T_c}{T_c} L^{1/\nu} \right]$$

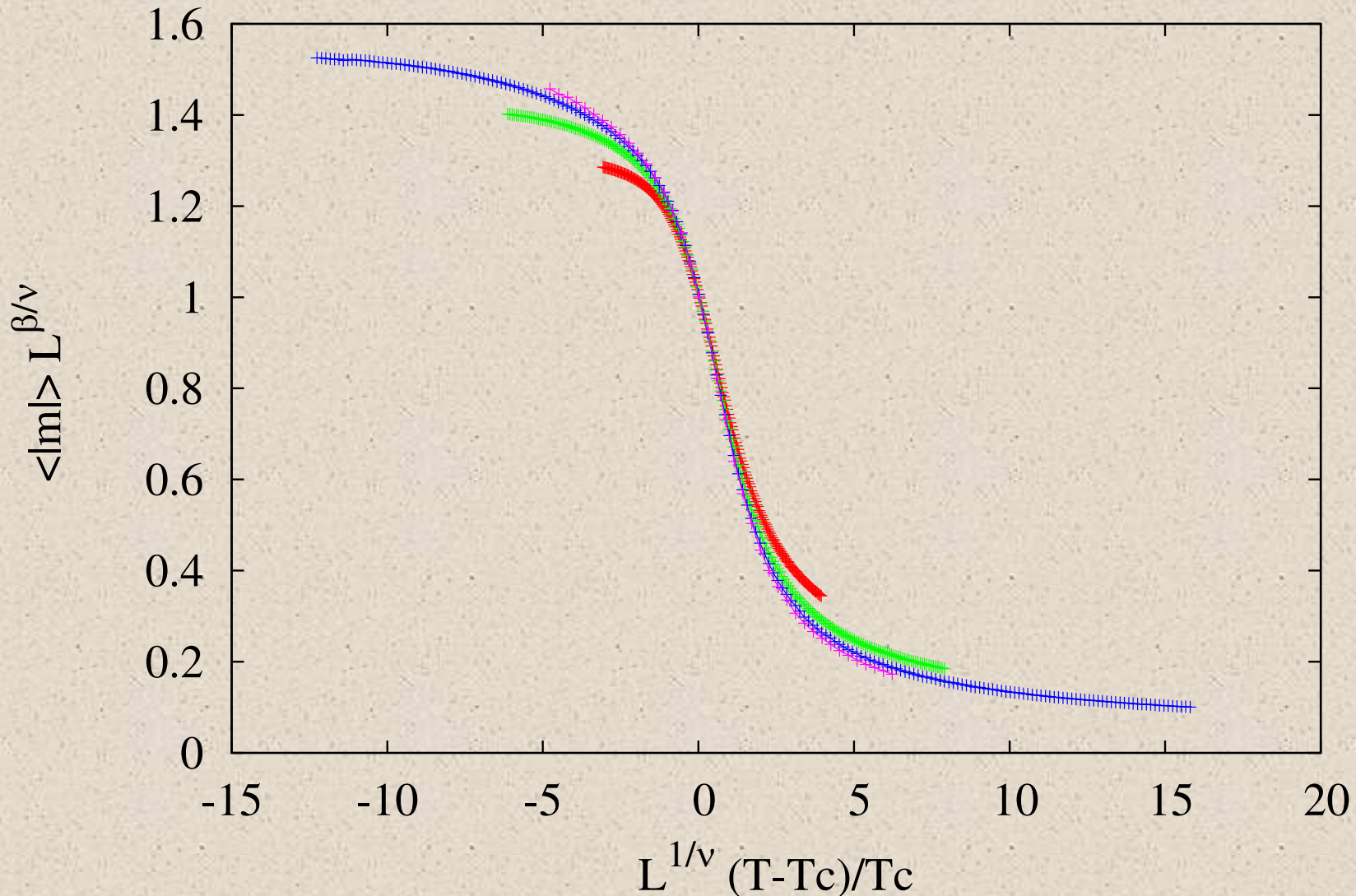
Test del finite size scaling

- Susceptibilitat



Test del finite size scaling

- Order parameter



Treball a entregar

El treball ha de ser individual, de màxim 12 pàgines (12 cares) i ha de presentar-se en un arxiu pdf.

Ha d'incloure

1-Introducció (màx. 1 cara)

2-Discussió de l'evolució "temporal" de magnetitzacions i energies a diferents temperatures. Opcionalment podeu discutir les configuracions finals a diferents temperatures.

3-Comportament de l'energia, el paràmetre d'ordre, la capacitat calorífica i la susceptibilitat amb la temperatura per un sistema de mida $L=32$. Cal incloure també la prova gràfica que les fluctuacions de l'energia i la derivada de l'energia respecte T son equivalents.

4-Discussió de l'efecte de variar la mida, com a mínim sobre la susceptibilitat i la capacitat calorífica, fent $L=8,16,32$ i 64

5- Determinar T_c , extrapolant d'alguna manera al sistema infinit.

6- Determinar exponents crítics i, optativament, comprovar FSS

7- Conclusions

8- Referències

Heu d'entregar també el codi fortran MC2 .f (que compili i ben comentat).

L'entrega dels dos documents es fa pel campus virtual, abans del 22 de gener de 2021 a les 23:55.